

(32) 柱および、はり一柱の座屈・崩壊 強度に関する簡略化解析法の検討

三 船 忠 志^{*1} 増 尾 龍 一^{*2}

1. 緒 言

柱および、はり一柱 (beam-column) の不安定現象・崩壊に関する研究は古くから多くの研究者によって理論的・実験的に行なわれてきた。たとえば 1) ~ 4) 最近、柱の両端が、はりのようない他の隣接部材に連結されることによって回転拘束されている柱、いわゆる弾性拘束柱の崩壊強度・設計に関する検討が S.S.R.C. で進められており、また、我が国でも見られる。^{たとえば 5)~12)}

一方、Massonnet¹³⁾ は、鋼構造物の安定問題全般にわたる研究の総括・概観をおこなった中で、設計基礎式の誘導にあたっては、実際の現象にできるだけ忠実であると同時に、実際の設計に利用可能な簡便さの必要性について述べている。

本研究は、上述の観点から、柱および、はり一柱の弾塑性座屈・崩壊における極限強度解析の概念を簡略化すること、および、弾性拘束柱や、単純はり一柱などを総括的に取扱う方法の開発と、弾性拘束柱の極限強度式の中に单一の柱および、はり一柱を包含するような、統括極限強度式の開発を目的としている。本論文は、その解法の一例として、大胆な仮定のもとに著者らが開発した“柱の仮想降伏応力法”という新しい概念を導入した。その結果、柱の非弾性座屈強度の解析が弾性応力解析と同じ手順の実行だけで、極限強度解析を近似的に代替できることを明らかにした。以下、この解析法と、その実用性の検討結果について述べる。

まず、本論文の基礎となる柱の仮想降伏応力⁸⁾ (Hypothetical yield stress) の概念について説明し、これをもとに、柱のそれぞれの支持条件（固定、回転支持、弾性拘束支持など）のすべてを包含する極限強度式を得るために、より一般的で包括的な弾性拘束柱の解析を行なった。その解析中で隣接部材の拘束係数 κ および、相当偏心量 $[e]_{eq}$ という二つの新しい概念を導入して解析を簡略化した極限強度式を導き、これを一般化修正セカント式と名付けた。つぎに、この一般化修正セカント式と従来のセカント公式との関連や、相関式との関連などを明らかにする。続いて、この一般化修正セカント式の結果の実用性を検討するために、一つのモデル実験との結果の比較を示す。¹⁴⁾著者らの提唱する、柱の仮想降伏応力を基礎とした修正セカント式は二軸偏心圧縮柱への拡張も容易であるので、最後にそれについて説明し、单一柱の二軸偏心圧縮実験結果との比較を行なった。

2. 柱の仮想降伏応力

ここで、本論文の基礎となる式(1)のような仮想降伏応力 $\tilde{\sigma}_y$ (Hypothetical yield stress)

$$\tilde{\sigma}_y = \{1 - (Z_p / Z)\} \sigma_{cs} + (Z_p / Z) \cdot \sigma_y \quad (1)$$

*1 大阪工業大学 工学部 講師

*2 同 教授

の概念について述べる。説明の便宜上、柱の材料は軟鋼のように理想化した応力一ひずみ線図を仮定し、材料の降伏応力を σ_y とすると、偏心的軸圧縮される柱（はり一柱）は荷重の増加とともに、図 1 のような応力分布を経過して崩壊に至る。その崩壊時の応力分布（図 1-⑩）は軸力 P による平均軸圧縮応力 σ_{cs} と曲げの応力との結合である。ただし、 $\sigma_{cs} = P/A$ 。

いま、このはり一柱が純曲げモーメントだけをうけて、崩壊することを想像すると図 3 の応力分布図となる。これに対して、柱が純圧縮の状態（このとき図 2 の、曲げモーメントは零の状態）で崩壊に至る。したがって、図 4 のように $\sigma_{cs} = \sigma_y$ の応力分布で崩壊に至るが、もし応力一ひずみ線図が完全弾塑性でなければ Shanley の座屈応力で崩壊に至るだろう。

さて、ここで図 3 に示された塑性（極限）的な応力パターンと等値の弾性的応力パターンを想像してみよう。それは図 5 のような応力パターンとなるだろう。

したがって、図 3 の応力パターンから単純塑性理論によって全塑性モーメント M_p は式 (2) で表現される。

$$M_p = Z_p \cdot \sigma_y \quad \dots \dots (2)$$

それに対して、想像的に描かれた図 5 の弾性的応力パターンから単純弾性理論によって、 M_p は形式的に式 (3) で表現される。

$$M_p = Z \cdot \sigma_{yB} \quad \dots \dots (3)$$

ここで、式 (2) と式 (3) は M_p が等値であるから、これら両式より σ_{yB} を求めると、次のようになる。

$$\sigma_{yB} = (Z_p/Z) \cdot \sigma_y \quad \dots \dots (4)$$

この式 (4) の σ_{yB} は、降伏応力 σ_y を形式的に形状係数 (Z_p/Z) 倍したものである。すなわち、弾性的な解析法で得られるはりの最外縁の応力 σ_m が、前述の σ_{yB} と想像的に等しくなるとき、その断面が全塑性状態になる（図 3 参照）。言かえると、これがはりの極限強度とみなされる。このように、仮想的な降伏応力を用いることによって、単純はり理論でも、はり一柱の極限強度が求められる

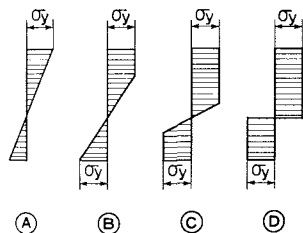


図 1 はり一柱の崩壊応力分布

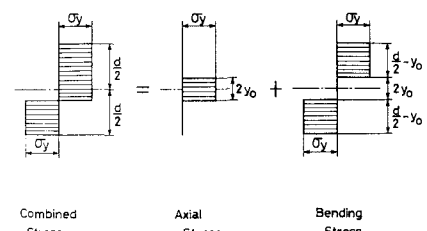


図 2 圧縮と曲げの組合せ応力パターン

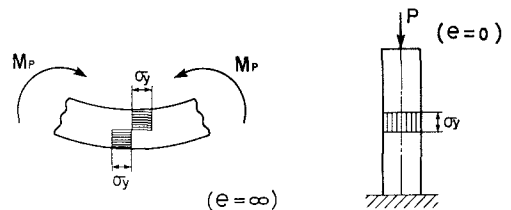


図 3 全塑性モーメント

図 4 純圧縮状態

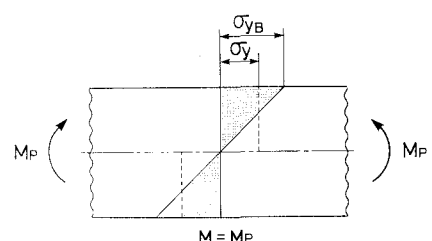


図 5 仮想弾性的相当表面応力 σ_{yB}

ことを示唆している。一方、純圧縮の場合、図4より最外縁の応力 σ_m が降伏応力 σ_y に等しくなるとき、その断面は全塑性状態であるから、これも柱の極限（崩壊）強度とみなされる。そこで、一般に、柱が曲げと圧縮をうける場合（図2参照）の、いわゆる、はり一柱の極限強度は、どのような仮想降伏応力によって、求められることになるか考察しよう。さて図2は、偏心圧縮を受ける柱（はり一柱）であり、その両極を（A）、（B）とすると、それぞれ、（A）は、偏心が無限大の場合（純曲げ状態、すなわち、図2の中の y_0 が無限小のとき）で、（B）は、偏心が無限小の場合（純圧縮状態、すなわち、図2の中の $2y_0 = d$ のとき）である。その両極状態の極限強度は前述のとおりで、柱の最外縁の応力 σ_m がそれぞれの降伏応力 σ_y 、または、仮想降伏応力 $\tilde{\sigma}_y$ のいずれかに等しくなる条件から求められる。図2のような、一般的なはり一柱の仮想降伏応力 $\tilde{\sigma}_y$ は偏心の程度によって、 σ_y と σ_{yB} との中間の値をとるので

$$\tilde{\sigma}_y \leq \sigma_y \leq (Z_p/Z) \cdot \sigma_y \quad \dots (5)$$

と表わすことができる。また、 $\tilde{\sigma}_y$ は図2の中の y_0 の関数であるから、 σ_{cs} の関数として表現できる。そこで、 $\tilde{\sigma}_y$ を図6のように直線で近似すると、前述の式（1）を得ることができる。この仮定は簡単であるだけでなく、これによって柱の極限強度が弾性解析法と関連づけられるために重要な役割をはたすことになる。（後述の式（10）参照）

3. 一般化修正セカント式

ここで、弹性拘束柱のモデルとして図7のような箱形Frameモデルの解析を行なう。具体的に、図7の部材を次のように、主部材ABと副部材（他の部材）に分割すると、図8に示されるように、副部材は主部材の端末の拘束モーメント M_A, M_B によって代替され、さらに簡略化される。そこで、図8の主部材のみに着目すると、両端のたわみ角 θ_A, θ_B は、それぞれ

$$\theta_A = [dy/dx]_{x=0} \quad \theta_B = [dy/dx]_{x=l}$$

となり、両端の拘束モーメント M_A, M_B は、それぞれの θ_A, θ_B に比例するから

$$M_A = k_A \cdot \theta_A \quad M_B = k_B \cdot \theta_B$$

のように表わされる。したがって、実際上の材端の

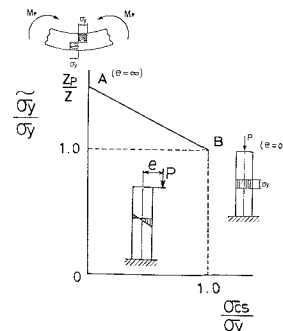


図6 はり一柱の仮想降伏応力

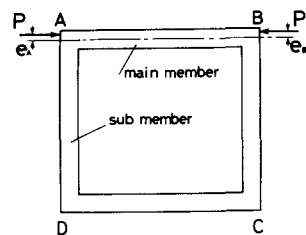


図7 箱形Frameのはり一柱モデル

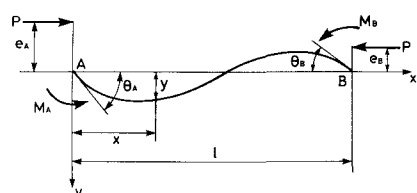


図8 理論解析モデル

モーメント M_{1A}, M_{1B} は次のようになる。

$$M_{1A} = P [e_A - k_A \cdot \theta_A / P] \quad \dots \dots \dots \dots \dots \dots \dots \quad (6)$$

$$M_{1B} = P [e_B + k_B \cdot \theta_B / P] \quad \dots \dots \dots \dots \dots \dots \dots \quad (6)$$

ところが、上式の $[]$ の項は見かけ上の偏心量に相当するので、これらを $[e_A]_{eq}, [e_B]_{eq}$ と書き、これを相当偏心量と呼ぶことにする。

この相当偏心量を用いると、材端モーメント M_{1A}, M_{1B} が、

$$M_{1A} = P \cdot [e_A]_{eq} \quad M_{1B} = P \cdot [e_B]_{eq}$$

となり、単柱と同様に取扱うことができる。したがって、この場合の主部材の、たわみ曲線は

$$y = [e_A]_{eq} \cdot \left(\frac{\sin \alpha(\zeta - x)}{\sin \alpha \zeta} - \frac{\zeta - x}{\zeta} \right) + [e_B]_{eq} \cdot \left(\frac{\sin \alpha x}{\sin \alpha \zeta} - \frac{x}{\zeta} \right) \quad \dots \dots \dots \quad (7)$$

となる。ここに、 $\alpha^2 = P/EI$ であり、これより、主部材の両端のたわみ角 θ_A, θ_B が求められ、この θ_A, θ_B と (6)、(6)' から、 $[e_A]_{eq}, [e_B]_{eq}$ について求めると、次のようにになる。

$$[e_A]_{eq} = \{1 - (\kappa_B \cdot T_\alpha + \beta \cdot \kappa_A \cdot S_\alpha) / (\alpha \zeta)^2\} \cdot e_A / [F] \quad (8)$$

$$[e_B]_{eq} = \{\beta - (\beta \cdot \kappa_A \cdot T_\alpha + \kappa_B \cdot S_\alpha) / (\alpha \zeta)^2\} \cdot e_A / [F] \quad (8)$$

ここで、 $S_\alpha = \{(\alpha \zeta / \sin \alpha \zeta) - 1\}, T_\alpha = \{(\alpha \zeta / \tan \alpha \zeta) - 1\},$

$$\beta = e_B / e_A, \quad \kappa_A = \tilde{k}_A \cdot \kappa, \quad \kappa_B = \tilde{k}_B \cdot \kappa, \quad \kappa = \zeta / EI$$

$$\beta_{eq} = [e_B]_{eq} / [e_A]_{eq}, \quad \alpha \zeta = (\lambda \sqrt{\sigma_{cs}} / E),$$

$$[F] = \{1 - T_\alpha (\kappa_A + \kappa_B) / (\alpha \zeta)^2 + \kappa_A \cdot \kappa_B \cdot (T_\alpha^2 - S_\alpha^2) / (\alpha \zeta)^4\} \quad \dots \dots \dots \quad (9)$$

である。ここで、前報 (9) (11) と同様に、はり一柱の最外縁の応力 σ_m を弾性的な解析法で求め、この σ_m と、式 (1) の $\tilde{\sigma}_y$ が等しいとおいて整理すると、 $\lambda > \lambda_{B, eq}$ のとき、式 (10)を得る。この式 (10) は、 (Z/Z_p) の項を除くと弾性解と完全に一致する。言換えれば、この方法は、弾性解の偏心比の項に (Z/Z_p) の項を加えるだけで、式 (10) を得ることができる便利さである。

$$\sigma_y = \sigma_{cs} \left(1 + \frac{c \cdot [e_A]_{eq}}{r^2} \right) \cdot (Z/Z_p) \cdot \psi_{eq} / \sin (\lambda \sqrt{E/\sigma_{cs}}) \quad (10)$$

ここに、 $\psi_{eq} = \{\beta_{eq}^2 - 2\beta_{eq} \cos(\lambda \sqrt{E/\sigma_{cs}}) + 1\}^{1/2}$, $\lambda = \zeta/r$

$\beta_{eq} = \sqrt{E/\sigma_{cs}} \cdot \cos^{-1}(\beta_{eq})$, である。

4. 解析結果の検討

4.1 弾性拘束柱の計算例

さて、この式(10)を満足するときの、 σ_{cs} が弾性拘束柱の最終強度 σ_c を与える。いま、数値計算の一例として、次のような各値を使用して、弾性拘束柱の最終強度と細長比の関係を示す。

図10は、 $(Z_p/Z) = 1.5$ で、
 $\sigma_y = 245[\text{Mpa}]$, $E = 206[\text{Gpa}]$, $\beta = 1.0$ で
 K_A と K_B の値は共に等しく、それぞれ、
 $K_A = K_B = 0, 3.5, 100.0, \infty$, の4種類とした。また、偏心比もそれぞれ、
 $c \cdot e_A / r^2 = 0.0, 0.5, 2.0$, の3種類についての計算結果を示している。また、式(8)～(10)において、 $K_A = K_B = 0$ 。

すなわち、両端の拘束部材のない場合は、相当偏心量 $[e_A]_{eq}$ が、単なる偏心量 e_A になり、
 $[e_A]_{eq} = e_A$ となるから、前報¹⁴⁾の“单一柱の修正セカント式”となり、式(11)で表わされる。
(図10 破線 参照)

$$\sigma_y = \sigma_{cs} \left(1 + \frac{c \cdot e_A}{r^2} \right) \cdot (Z/Z_p) \cdot \psi / \sin (\lambda \cdot \sqrt{E/\sigma_{cs}}) \dots \dots \quad (11)$$

さらに、 $(Z_p/Z) = 1$ とおくと、弾性解と一致する。したがって、 $e_A = e_B$ のときは良く知られた“セカント公式”(弾性式)となり、式(12)で表わされる。

$$\sigma_y = \sigma_{cs} \left(1 + \frac{c \cdot e_A}{r^2} \right) \cdot \sec (\lambda / 2 \cdot \sqrt{E/\sigma_{cs}}) \dots \dots \dots \quad (12)$$

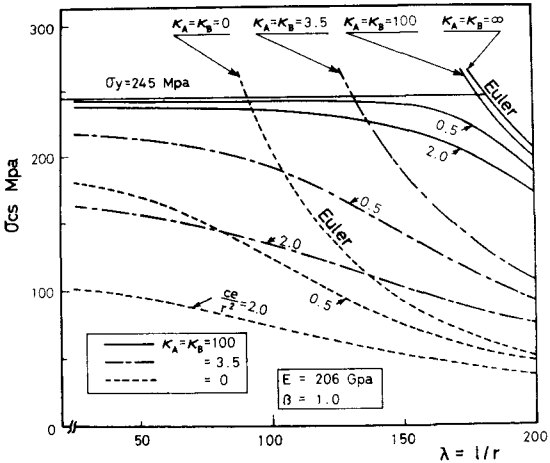


図10 弾性拘束柱の最終強度と細長比の関係

また、式(10)の座屈条件は“ $\sin(\lambda \cdot \sqrt{E/\sigma_{cs}})$ ”が零になるときと、他の一つは式(9)の“ $[F] \rightarrow 0$ ”のときで、($[F]$ の項が無限小になるとき)である。

すなわち、最初の座屈条件は $(\lambda \cdot \sqrt{E} / \sigma_{cs}) = n\pi$ のときで、自然数 $n = 1, 2, 3, \dots$ 。なら、たわみ y が無限大になる。このときの σ_{cs} が中心圧縮柱の最終強度 σ_c となり、これは Euler 公式で、 $n = 1$ ときの σ_{cs} を σ_{e1} とし、 $n = 2$ ときの σ_{cs} を σ_{e2} とすれば、 σ_{e1} と σ_{e2} は

$$\sigma_{e1} = E \pi^2 / \lambda^2 \quad \dots \dots \quad (13), \quad \sigma_{e2} = 4 E \pi^2 / \lambda^2 \quad \dots \dots \quad (13)$$

となり、それぞれ両端回転、($n = 1$) および、両端固定 ($n = 2$) の Euler 式である。

また、他の座屈条件、式(9)の $[F] \rightarrow 0$ になるときは、 $[e_A]_{eq}$ の頂が無限大になるときであり、これは、両端回転 式(13)および、両端固定 式(13)' 以外の拘束条件(拘束部材をもつ柱)の座屈条件を与える。たとえば、 $\kappa_A = 0$ で $\kappa_B \rightarrow \infty$ とおけば、 $\tan \alpha_c = \alpha_c$ になると、 $[F]$ の頂が無限小になる。すなわち、これは一端回転、他端固定の柱の座屈条件をあらわす。

このように、一般に隣接する拘束部材によって決定される拘束条件から、 κ_A と κ_B を決定すると、任意の弾性拘束柱の中心座屈条件を求めることができる。そして、それらの座屈曲線は両端回転 ($\kappa_A = \kappa_B = 0$) および両端固定 ($\kappa_A = \kappa_B = \infty$) の両 Euler 座屈曲線の間に無数に存在することになる。（例えば図10の $\kappa_A = \kappa_B = 3.5$ の一点鎖線や、 $\kappa_A = \kappa_B = 100$ の実線を参照）さて、このような任意の拘束条件の弾性拘束柱に偏心荷重が作用する場合の、柱の最終強度は図10に示すように、同一の偏心量であっても、 κ_A と κ_B の数値によって、拘束柱の最終強度曲線は大いに異なるものとなる（図10の破線や、一点鎖線、実線を参照）。

4.2 相関式と修正セカント式の関係について

次に前述の単一柱の修正セカント式(11)と、文献[17]の理想弾塑性形相関耐力式(14)との関係について検討する。

$$\frac{P}{P_y} + \frac{M_1}{(1 - P/\rho_e) M_p} = 1.0 \quad \dots \dots \dots \quad (14)$$

式(11), (13)より、 $\sigma_{cs} = P/A$, $\sigma_y = P_y/A$, $M_1 = P \cdot e$.

$M_p = \sigma_y \cdot Z_p$ (1 - P/P_{α}) = $\cos(\alpha i/2)$ であるから、式(14)を変

形すると、

$$\sigma_y = \sigma_{cs} \left\{ 1 + \frac{c + e_A}{r^2} + \frac{1}{1.14} \cdot \left(Z / Z_p \right) \cdot \sec(\alpha \ell / 2) \right\} \quad (14)$$

となる。さらに、式(14)は、I形断面の強軸に関する Shape Factor (Z_p / Z) が近似的に $(Z_p / Z) = 1.14$ であるから、ここで $1 / 1.14$ の代りに (Z / Z_p) を代用すると、

$$\sigma_y = \sigma_{cs} \left\{ 1 + \frac{c \cdot e_A}{r^2} \cdot \left(\frac{Z}{Z_p} \right)^2 \cdot \sec(\alpha \ell / 2) \right\} \dots \dots \quad (14)$$

となる。ここで、式(11)、式(14)'、式(14)''の各式をそれぞれ比較すると、図11のようになる。この図は、偏心比 $ce/r^2 = 0.1$ および 1.0 の二種類で、Shape Factor は $(Z_p/Z) = 1.5$ の場合を示したもので、式(11)の修正セカント式が最も安全側にあることがわかる。ただし、 $(Z_p/Z) = 1.14$ のとき、式(14)', 式(14)''は完全に一致し、式(11)の値にも接近することが容易に想像できるだろう。

4.3 接線弾性係数 E_t (Tangent Modulus)

が σ_{cs}/σ_y の関数で与えらる場合。

式(10), (11), (13)は理想化した応力-ひずみ関係でヤング率 E (一定) の場合であったが、ここで、接線弾性係数 E_t が次式(15)のように σ_{cs}/σ_y の関数で与えられる場合について検討しよう。

$$E_t = 4E \left(\frac{\sigma_{cs}}{\sigma_y} \right) \left(1 - \frac{\sigma_{cs}}{\sigma_y} \right) \dots \dots \dots \quad (15)$$

この場合、式(10), (11), (13)の式中 E を単に E_t に代替するだけであるから、式(10)は式(16)となり、特に式(13)は、いわゆる Tangent Modulus Theory 式となる。

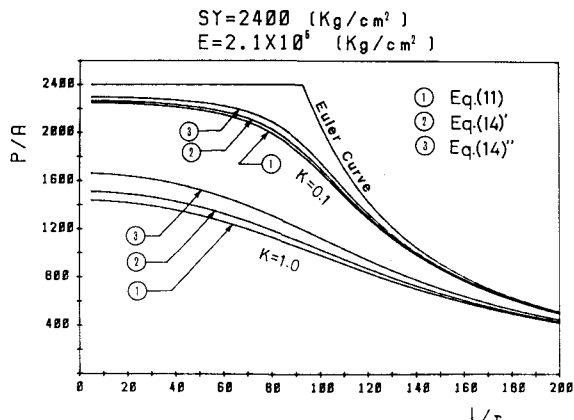


図11 相関式と修正セカント式の関係

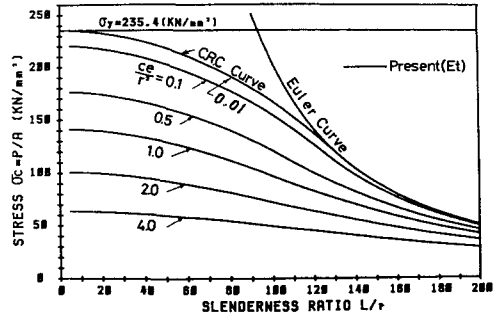


図12 接線弾性係数 E_t えた場合

$$\sigma_y = \sigma_{cs} \left\{ 1 + \frac{c \cdot [e_A]_{eq}}{r^2} \cdot \left(\frac{Z}{Z_p} \right) \psi_{eq} / \sin \lambda \left(E_t / \sigma_{cs} \right)^{1/2} \right\} \dots \dots \quad (16)$$

ここで、式(16)において、 $\kappa_A = \kappa_B = 0$ $\sigma_y = 235.4 [\text{kN/mm}^2]$, $(l_p/Z) = 1.5$ で、偏心比 $ce/r^2 = 0.01, 0.1, 0.5, 1.0, 2.0, 4.0$ の 6 種類について計算したものを図12 に示す。図より、偏心比が小さくなると、CRC 曲線⁴⁾に漸近し、 $ce/r^2 = 0.01$ 、以下のとき完全に一致することがわかる。

したがって、修正セカント式に式(15)のような接線弾性係数 E_t を使用すると、偏心圧縮柱が統一的に表現され、CRC 曲線との矛盾もないであろう。さらに、式(10)～式(12)の各式の偏心 $\frac{ce_0}{r^2} = 0.25$ または、 $e_0 = r / 20 + L / 500$ を加算しておくと、AASHO、AREA の指針や、Perry-Robertson 式や、前述の相関耐力式などを包含することになる。

5. 拘束柱の実験概要

解析結果を確認するために、図 13 のような長方形フレームモデルについて、実験をおこなった。長方形フレームモデル試験片は主部材および隣接部材とも市販の圧延ミガキ鋼材をもちいて、溶接により製作した。残留応力を除去のため、焼純したのち実験を実施した。なお、試験片の寸法表および載荷方法実験装置については文献〔8〕に示されているので、割愛し、実験結果のみ図 14、表 1 に示した理論値は式(10)の結果でなく、図 13 について計算したものである。

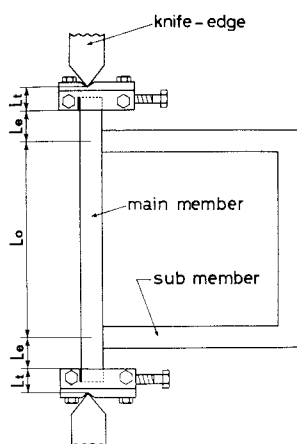


図 13 実験 Frame モデル

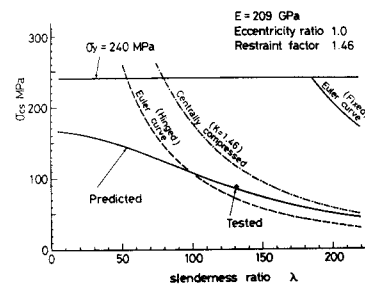


図 14-1 実験結果

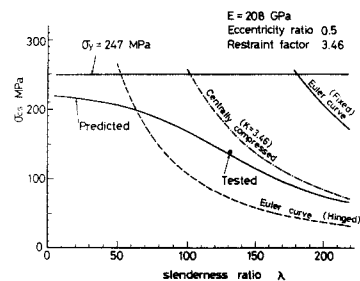


図 14-2 実験結果

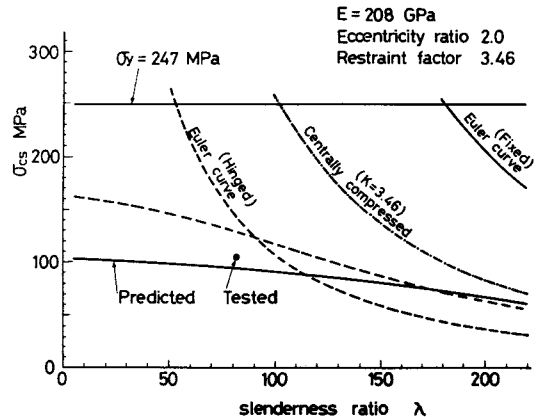


図 14-3 実験結果

6. 二軸偏心圧縮柱の修正セカント式

最後に、二軸偏心圧縮曲げを受ける柱の修正セカント式について述べておこう。通常構造物のはり一柱を解析する場合、適当な平面構造物に分解して、一軸偏心圧縮柱として解析されるが、強軸まわりの曲げを受ける場合、図15～17に示されるように、このやり方はどうしても避けることの出来ない微小偏心のために極めて危険である。したがって、たとえ一軸偏心圧縮柱と見なされる場合でも弱軸まわりの偏心圧縮曲げ以外は、基本的に二軸偏心圧縮曲げを受ける柱として設計することが望ましい。例えば、後述の有用な若林¹⁵⁾らの実験結果や、Massonnet¹⁶⁾の実験結果などに示唆されている。したがって、最初から二軸偏心圧縮曲げ状態の柱の場合はもちろん、前述の理由からも二軸偏心圧縮の耐力式が必要になるので、ここで、式(10)を拡張して二軸偏心圧縮用修正セカント式を示しておこう。

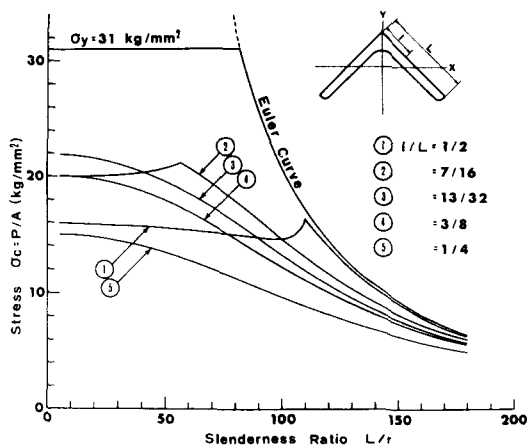


図15 L形鋼の二軸偏心曲げの数値計算例

$$\sigma_y = \sigma_{cs} \left[1 + \frac{1}{r_x^2} \cdot (Z_x / Z_{px}) (\sec \lambda_x (E / \sigma_{cs})^{1/2} / 2 \right]$$

$$+ \frac{1}{\Omega \Gamma \Xi \Lambda^2} \cdot \sec \lambda_x (E / \sigma_{cs})^{1/2} / 2 \Lambda \dots \dots \quad (17)$$

ここに、
 $\Omega = (Z_x / Z_{px}) / (Z_y / Z_{py})$ 、
 $\Gamma = c_y / c_x$ 、
 $\Lambda = \lambda_x / \lambda_y$ 、
 $\Xi = [e_{Ay}]_{eq} / [e_{Ax}]_{eq}$ である。

添字 X, Y はそれぞれ、X 軸、Y 軸まわりに関するもの、あるいは、X 軸、Y 軸方向の距離を意味する。

次に式(17)を用いて、等辺 L 形鋼 (L 90 × 90 × 7) を例にとって、集中荷重がその一边上に作用するとき、荷重点の位置 e_y / L の変化による座屈強度曲線と λ の関係についてその一例を図15に示す。

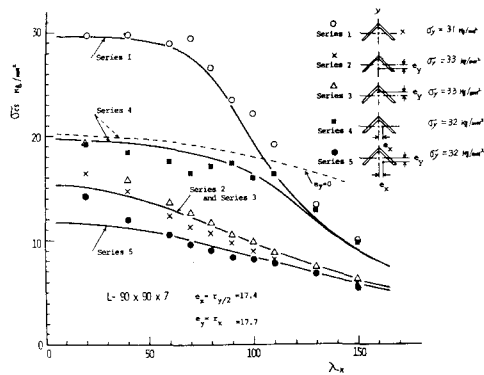


図16 若林らの実験結果との比較

図は $\kappa_A = \kappa_B = 0$ のときで、 $[e_{Ax}]_{eq} = e_{Ax}$, $\Omega = 1.0$, $\Gamma = 0.5$, $\Lambda = \lambda_x / \lambda_y = 1.966$, $\sigma_y = 31 \text{ kg/mm}^2$ として計算している。図中の(1)は $e/L = 1/2$ 、(2)は $e/L = 7/16$ 、(3)は $e/L = 13/32$ 、(4)は $e/L = 3/8$ 、(5)は $e/L = 1/4$ の各点の座屈強度曲線を表している。このように、荷重点によって座屈強度曲線がきわめて複雑な変化をするので、等辺L形鋼の設計にあたっては特別な注意が必要である。

そこで、若林ら¹⁵⁾によって確立された実験結果と、式(17)による結果との比較を図16に示す。図中のSeries 4の破線は($e = 0$)の場合(一軸偏心)で $e_{Ax} = r_x / 2 = 17.4\text{mm}$ のときの計算値である。しかし一軸偏心ではSeries 5の実験結果をうまく説明できない。

一方、若林らはこの実験値の説明には局部座屈理論で説明している。しかし前述の式(17)を用いて強軸まわりの偏心 ($e_{Ax} = r_x / 2 = 17.4\text{mm}$) の他に微小な弱軸まわりの偏心($c_y \cdot e_{Ay} / r_x^2 = 0.05$)をあたえて計算した。その結果、図中の実線で示すように、Series 4の実験結果を良く表わし、二軸偏心圧縮曲げだけでも充分に説明出来ることが解かる。同様に中心圧縮実験のSeries 1の計算も同手法により計算したもので実線で示している。さらに、Massonnetの実験結果についても一軸偏心だけでは良く説明できないが、同様の手法によりうまく説明できる。その結果を図17に示す。

Table 1. Test results and predicted strengths

| Test No. | $\kappa_A = \kappa_B$ | λ | E Gpa | σ_y Mpa | $\frac{c \cdot e}{r^2}$ | σ_{th} Mpa | σ_{ex} Mpa |
|----------|-----------------------|-----------|-------|----------------|-------------------------|-------------------|-------------------|
| 1- 80-3 | 3.46 | 82.7 | 208 | 247 | 2.0 | 93 | 104 |
| 1-130-3 | 3.46 | 131.7 | 208 | 247 | 0.5 | 132 | 136 |
| 1-130-2 | 3.46 | 131.7 | 203 | 339 | 1.5 | 118 | 118 |
| 2-130-3 | 1.46 | 131.7 | 206 | 411 | 2.0 | 83 | 79 |
| 2-130-3 | 1.46 | 131.7 | 209 | 240 | 1.0 | 83 | 86 |
| 3-100-3 | 1.16 | 100.2 | 203 | 295 | 1.5 | 97 | 112 |
| 3-100-3 | 1.16 | 100.2 | 203 | 295 | 1.0 | 109 | 128 |
| 4- 80-3 | 0.96 | 82.7 | 206 | 411 | 1.5 | 126 | 131 |
| 4- 80-3 | 0.96 | 82.7 | 209 | 240 | 1.0 | 132 | 149 |

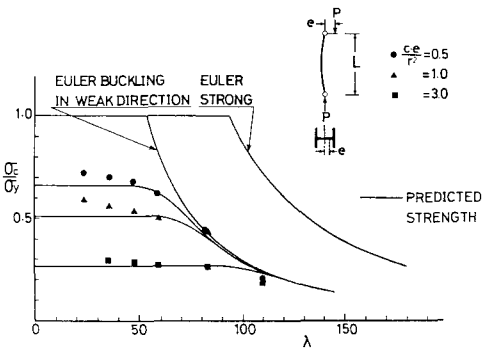


図17 Massonnetの実験結果との比較

7. 結論

以上、隣接部材によって拘束された、はり柱を中心とした柱の耐荷力決定のための基礎式の新しい誘導法の概要を示した。その誘導において筆者らの提案する仮想降伏応力法を用いると、非弾性座屈の問題を弾性的解析に容易に変換でき、これらは、一般の柱およびはり柱にも容易に応用することができる。また、接線弾性係数 E_t を使用すると、C R C 曲線とも関連づけられ、利用範囲が拡大される。しかし、実際の設計式として用いるためには、さらに実物大試験による詳細な検討も必要である。

文 献

- 1) Galambos,T.V. , Structural Members and Frames ,(1968),Prentice-Hall.
Galambos,T.V. 著, 福本・西野訳, 鋼構造部材と骨組, (1970) 丸善.
- 2) Bleich,F., Buckling Strength of Metal Structures, (1964), McGraw-Hill.
- 3) Chen,W.F., and Atsuta,T. Theory of Beam-Columns , (1976), McGraw-Hill).
- 4) Timoshenko,S.P.,and Gere,J.M.,Theory of Elastic Stability, (1961) McGraw-Hill.
- 5) Hall,D.H.,J.of Struc. Div. ASCE Vol.107,No.ST 4, (1981) pp. 649 -670.
- 6) Chen,W.F.,J.of Struc. Div. ASCE Vol.106,No.ST 11, (1980) pp.2279-2295.
- 7) Ackroyd,M.H. and Gerstle,K.H. J.of StrucDiv. ASCE Vol.109,No.ST 1, (1983) pp.241-245.
- 8) Mifune,T.,and Masuo,R.,Proc.of SESA/JSMEJoint Conf.on Exp.Mech., (1982) pp. 944-949 .
- 9) Lui,E.M.and Chen,W.F.,Struc. Eng. Vol.61B No.1 (1983),pp 17 -26.
- 10) 青木・福本, 土木学会, 昭和58年, 年講, 講演論文集 pp 235-236.
- 11) 西村・小松, 山県, 土木学会, 昭和58年, 年講, 講演論文集 pp 241-242.
- 12) 三船・増尾, 機械学会, 材料・構造強度評価講演会, 論文集 (1983) pp.440-444.
- 13) Massonnet,Ch. and Maquoi,R.,IABSE Surveys, S-5/78, (1978) pp.1-40.
- 14) Mifune,T., and Masuo,R.,JSME PAPERS,JSME/ASME Appl.Mech. West.Conf.,(1975) pp.351-358
- 15) Wakabayashi,H. and Nonaka,T. Bull. Disaster Prev. Res.Inst. Vol.15, No.2, (1965)
pp. 1-18.
- 16) Massonnet,C. and Campus,F.,Bull.No.17,Inst.Pour l'Encouragement de la Recherche
Scientifique dans l'Industrie et l'Agriculture,(1956).
- 17) 建築学会編集, 鋼構造塑性設計指針, (昭和50年), 建築学会 ,pp.113-133.

SIMPLIFIED STRENGTH CRITERION FOR COLUMNS
WITH OR WITHOUT END RESTRAINT

by

¹
Tadashi MIFUNE and Ryuichi MASUO²

Abstract

This paper describes a new method, i.e. a modified secant formula method, for estimating approximate strength curves of metal columns restrained elastically by adjacent members. A new concept, i.e. a hypothetical yield stress, is proposed to apply the elastic theory to inelastic buckling. An unified criterion for column buckling strength in all cases will be able to be developed by utilizing this new concept.

The theoretical results are verified with a model test and are also compared with the established experimental results. The method are available to predict the collapse load as accurately as desired.

¹

Lecturer, Department of Mechanical Engineering,
Osaka Institute of Technology,
5-chome, Omiya, Asahi-ku Osaka, 535 JAPAN

²

Professor, Department of Mechanical Engineering,
Osaka Institute of Technology,
5-chome, Omiya, Asahi-ku Osaka, 535 JAPAN